

НЕКОТОРЫЕ ТОЧНЫЕ РЕШЕНИЯ ДЛЯ ПРЯМОЛИНЕЙНЫХ  
ДВИЖЕНИЙ ВЯЗКО-ПЛАСТИЧЕСКОЙ СРЕДЫ

*B. П. Мясников*  
(Москва)

Пусть в безграничной вязко-пластической среде движется с постоянной скоростью в направлении своей оси бесконечно длинный цилиндр, поперечное сечение которого ограничено произвольным, но достаточно гладким контуром. Будем рассматривать течение, вызываемое им в среде, в декартовой системе координат, жестко связанной с ним. Направим ось  $z'$  вдоль оси цилиндра против направления его движения, а оси  $x'$  и  $y'$  расположим в плоскости его поперечного сечения.

При рассматриваемом движении цилиндра частицы среды будут иметь составляющую скорости  $u'$  только в направлении оси  $z$ , причем картина распределения скоростей в любой плоскости поперечного сечения будет зависеть только от  $x'$  и  $y'$ .

Пусть  $\mu$  — коэффициент вязкости среды,  $\tau_0$  — предел текучести,  $u_0$  — скорость движения цилиндра в направлении его оси и  $L$  — характерный линейный размер. Введем следующие безразмерные переменные:

$$x = \frac{x'}{L}, \quad y = \frac{y'}{L}, \quad u = \frac{u'}{u_0}$$

Уравнение движения вязко-пластичной среды [1] приведется, в силу сказанного, к одному уравнению для определения функции  $u(x, y)$

$$\left[ 1 + \frac{S u_y^2}{(u_x^2 + u_y^2)^{1/2}} \right] u_{xx} - \frac{2 S u_x u_y}{(u_x^2 + u_y^2)^{1/2}} u_{xy} + \left[ 1 + \frac{S u_x^2}{(u_x^2 + u_y^2)^{1/2}} \right] u_{yy} = 0 \quad (1)$$

где  $S$  параметр Сен-Венана, равный  $\tau_0 L / \mu u_0$ . Уравнение будет квазилинейным и эллиптическим на любой его интегральной поверхности и при  $S = 0$ , что соответствует случаю вязкой жидкости, совпадает с уравнением Лапласа.

Сформулируем граничные условия для функции  $u(x, y)$ . Пусть  $\Gamma_1$  контур поперечного сечения цилиндра. Тогда из условий прилипания будем иметь

$$u|_{\Gamma_1} = 0 \quad (2)$$

Отсутствие течения среды на некотором контуре  $\Gamma_2$  приведет к двум условиям

$$u|_{\Gamma_2} = 1, \quad \frac{\partial u}{\partial n}|_{\Gamma_2} = 0 \quad (3)$$

Контур  $\Gamma_2$  заранее неизвестен и должен быть определен в процессе решения.

Задача об определении течения свелась, таким образом, к нахождению решения квазилинейного уравнения (1) при условиях (2), (3) в некоторой кольцевой области (фиг. 1).

Заметим, что при  $S = 0$  поставленная граничная задача решения не имеет ни при каком замкнутом контуре  $\Gamma_2$ , расположенному в конечной части плоскости. Действительно, при  $S = 0$  уравнение (1) с условиями (2) и (3) должно описывать течение вязкой жидкости между двумя цилин-

драми,двигающимися друг относительно друга и на одном из них касательное напряжение должно обратиться в нуль [2], что, очевидно, невозможно ни при каком выборе контура  $\Gamma_2$ . Если же считать, что контур  $\Gamma_2$  стягивается в бесконечно удаленную точку, то единственным решением будет  $u \equiv 0$ , так как единственным ограниченным в бесконечности решением уравнения Лапласа в плоском случае будет  $u = \text{const}$  [3]. Это свидетельствует о том, что при движении цилиндра он увлекает за собой всю жидкость. Уравнение (1) может быть линеаризовано при помощи преобразования Лежандра [4]

$$\begin{aligned} u_x &= \xi, \quad u_y = \eta, \\ u(x, y) &= x\xi + y\eta - \Phi(\xi, \eta) \end{aligned}$$

Если функциональный определитель

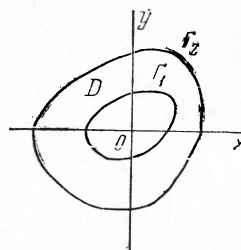
$$\Delta = \frac{D(x, y)}{D(\xi, \eta)} = \Phi_{\xi\xi}\Phi_{\eta\eta} - \Phi_{\xi\eta}^2$$

отличен от нуля, то в полярных координатах

$$S\lambda = \sqrt{\xi^2 + \eta^2}, \quad \theta = \arctan \eta / \xi$$

получим уравнение

$$\lambda(\lambda + 1)\Phi_{\lambda\lambda} + \lambda\Phi_\lambda + \Phi_{\theta\theta} = 0 \quad (4)$$



Фиг. 1

Величина  $S\lambda$  совпадает с интенсивностью скоростей деформации сдвига и поэтому будем называть плоскость  $(\lambda, \theta)$  плоскостью годографа скоростей деформации сдвига, а плоскость  $(Oxy)$  физической плоскостью. Связь между этими плоскостями осуществляется при помощи соотношений

$$\begin{aligned} u &= \lambda\Phi_\lambda - \Phi \\ x &= \frac{1}{S} \left[ \Phi_\lambda \cos \theta - \frac{1}{\lambda} \Phi_\theta \sin \theta \right] \\ y &= \frac{1}{S} \left[ \Phi_\lambda \sin \theta + \frac{1}{\lambda} \Phi_\theta \cos \theta \right] \end{aligned} \quad (5)$$

Заметим, что для линии  $u = \text{const}$  будем иметь

$$\frac{\partial u}{\partial n} = u_x \cos(n, x) + u_y \cos(n, y) = (u_x^2 + u_y^2)^{1/2} = S\lambda$$

Два граничных условия (3), учитывая предыдущее соотношение, приведут в плоскости годографа только к одному условию

$$(\Phi)_{\lambda=0} = -1. \quad (6)$$

Выполнение же условия (1) эквивалентно в плоскости годографа трем соотношениям, из которых, однако, только два независимы. Действительно, из (2) и (3) следует, что:

$$(\lambda\Phi_\lambda - \Phi)_{\lambda=\lambda(\theta)} = 0 \quad (7)$$

Так как  $x(\theta)$  и  $y(\theta)$  в выражениях (4) при  $\lambda = \lambda_0(\theta)$  должны совпадать с координатами точек контура  $\Gamma_1$  в физической плоскости, получим еще два условия

$$\begin{aligned} (\Phi_\lambda)_{\lambda=\lambda_0(\theta)} &= S [X_0(t) \cos \theta + Y_0(t) \sin \theta] \\ (\Phi_\theta)_{\lambda=\lambda_0(\theta)} &= S [Y_0(t) \cos \theta - X_0(t) \sin \theta] \lambda_0(\theta) \end{aligned} \quad (8)$$

где  $t = t(\theta)$  определяется из требования, чтобы (7) и (8) удовлетворялись на одном и том же контуре  $\lambda = \lambda_0(\theta)$ . Для определения  $t(\theta)$  будем искать  $\lambda_0(\theta)$  как неявную функцию, определяемую (6).

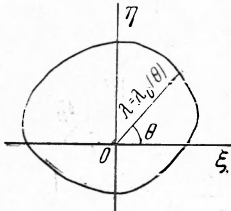
Тогда

$$\frac{d\lambda_0}{d\theta} = - \frac{\lambda_0 \Phi_{\lambda\theta} - \Phi_\theta}{\lambda_0 \Phi_{\lambda\lambda}} = - \frac{\Phi_{\lambda\theta} - S [Y_0(t) \cos \theta - X_0(t) \sin \theta]}{\Phi_{\lambda\lambda}}$$

Из первого соотношения (8) следует, что

$$\frac{d}{d\theta} [(\Phi_\lambda)_{\lambda=\lambda_0(\theta)}] = \Phi_{\lambda\lambda} \frac{d\lambda_0}{d\theta} + \Phi_{\lambda\theta} = S \frac{d}{d\theta} [X_0(t) \cos \theta + Y_0(t) \sin \theta]$$

Находя  $d\lambda_0 / d\theta$  из последнего выражения и сравнивая его с предыдущим, получим искомую связь между  $t$  и  $\theta$  в виде уравнения



Фиг. 2

$$X_0'(t) = -Y_0'(t) \operatorname{tg} \theta$$

Введем обозначение

$$\varphi(\theta) = S [X_0(t) \cos \theta + Y_0(t) \sin \theta]$$

Условия (8) можно записать следующим образом:

$$(\Phi_\lambda)_{\lambda=\lambda_0(\theta)} = \varphi(\theta), \quad (\Phi_\theta)_{\lambda=\lambda_0(\theta)} = \varphi'(\theta) \lambda_0(\theta)$$

и, следовательно, эти условия не будут независимыми. Таким образом, условие (2) эквивалентно двум условиям в плоскости годографа

$$(\lambda \Phi_\lambda - \Phi)_{\lambda=\lambda_0(\theta)} = 0, \quad (\Phi_\lambda)_{\lambda=\lambda_0(\theta)} = \varphi(\theta) \quad (9)$$

где  $\varphi(\theta)$  известно, если контур  $\Gamma_1$  задан. Контур  $\lambda = \lambda_0(\theta)$  (фиг. 2) заранее неизвестен и определяется в процессе решения.

Будем теперь искать решения уравнения (4) в виде  $\Phi = M(\lambda) N(\theta)$ . Подставляя, получим

$$N_n'' = -n^2 N_n(\theta), \quad \lambda(\lambda+1) M_n'' + \lambda M_n' - n^2 M_n = 0 \quad (10)$$

Решение первого из уравнений (10) запишем в форме

$$N_n(\theta) = A_n \cos(n\theta + \vartheta_n)$$

где  $A_n$ ,  $\vartheta_n$  произвольные постоянные.

Ограничимся в дальнейшем исследованием частных решений для целых значений параметра  $n$ . Очевидно, можно рассматривать только положительные значения  $n$ , так как уравнения (10) от знака  $n$  не зависят.

При  $n$  целом второе уравнение может быть проинтегрировано в квадратурах. Решение, удовлетворяющее условию ограниченности  $x$  и  $y$  в (5) при  $\lambda = 0$ , будет полиномом степени

$$M_n(\lambda) = \lambda + \sum_2^n \frac{\lambda^k}{(k-1)! k!} \prod_{\alpha=1}^{k-1} (n^2 - \alpha^2) \quad (n=1, 2, \dots)$$

Частное решение при  $n = 0$

$$M_0(\lambda) = C_0 + C_1 \ln(\lambda + 1) \quad (11)$$

соответствует движению круглого цилиндра при сделанных предположениях и изучено в работе [5]. Некоторые другие частные решения уравнения (1) изучены в работе [6].

Рассмотрим частные решения вида

$$\Phi_n(\lambda, \theta) = C_0 + C_1 \ln(\lambda + 1) + A_n M_n(\lambda) \cos(n\theta + \vartheta_n) \quad (n=2, 3, \dots) \quad (12)$$

Из условия (6) следует, что  $C_0 = -1$ , а из (5) будем иметь

$$u = 1 + C_1 \left[ \frac{1}{\lambda + 1} - \ln(\lambda + 1) \right] + A_n (\lambda M_n' - M_n) \cos(n\theta + \vartheta_n)$$

Тогда первое условие (9), если положить  $C_1 = AS A_n = B_n AS$ , можно записать в виде

$$\frac{1}{AS} + B_n (\lambda M'_n - M_n)_{\lambda=\lambda_0(\theta)} \cos(n\theta + \vartheta_n) = \left[ [\ln(\lambda+1) - \frac{\lambda}{\lambda+1}] \right]_{\lambda=\lambda_0(\theta)} \quad (13)$$

Посмотрим, при каких ограничениях на  $A_1 B_n$  и  $\vartheta_n$  можно удовлетворить этому условию на некотором контуре  $\lambda = \lambda_0(\theta)$

Введем обозначения

$$\Lambda^+(\lambda) = \frac{1}{AS} + |B_n| (\lambda M'_n - M_n)$$

$$\Lambda^-(\lambda) = \frac{1}{AS} - |B_n| (\lambda M'_n - M_n)$$

$$f(\lambda) = \ln(\lambda+1) - \frac{\lambda}{\lambda+1}$$

Функция  $\lambda M'_n(\lambda) - M_n(\lambda)$  положительна при  $\lambda > 0$  и монотонно возрастает с увеличением  $\lambda$ . При этом справедлива следующая оценка:

$$\lambda M'_n - M_n \geqslant \frac{1}{2} (n^2 - 1) \lambda^2 \quad (n = 2, 3, \dots)$$

Если  $B_n \cos(n\theta + \vartheta_n) < 0$ , то  $(\lambda M'_n - M_n) \rightarrow +\infty$  при  $\lambda \rightarrow \infty$  и для любых  $AS$ ,  $\theta$ ,  $\vartheta_n$  и  $|B_n|$  из (12) можно найти соответственное значение  $\lambda_0$ .

При  $(B_n / |B_n|) \cos(n\theta + \vartheta_n) = -1$  будем иметь уравнение для определения минимального значения  $\lambda_0(\theta)$

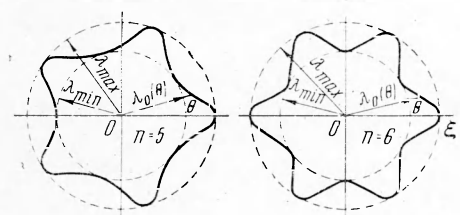
$$\Lambda^-(\lambda) = f(\lambda)$$

Наоборот, если  $B_n \cos(n\theta + \vartheta_n) > 0$ , то решение уравнения (13) может не существовать ни при каком  $\lambda$ . Если имеет решение уравнение

$$\Lambda^+(\lambda) = f(\lambda) \quad (14)$$

то и уравнение (13) также имеет решение. Условия существования решения уравнения (14) легко установить (фиг. 3). Совпадение производных правой и левой частей уравнения и равенство этих частей в точке  $P$  дают соотношения

$$\begin{aligned} |B_n| &= \frac{1}{(\lambda_0 + 1)^2 M_n''(\lambda_0)} \\ \frac{1}{AS} + \frac{\lambda_m M'_n(\lambda_m) - M_n(\lambda_m)}{(1 + \lambda_m)^2 M_n''(\lambda_m)} &= \\ &= \ln(\lambda_m + 1) - \frac{\lambda_m}{\lambda_m + 1} \quad (15) \end{aligned}$$

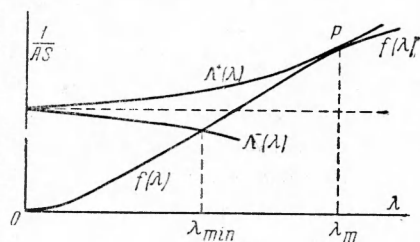


Фиг. 4

Последнее уравнение (15) имеет решение  $\lambda_m > 0$  при  $0 < AS < \infty$ . Положим, что

$$B_n = \frac{\alpha_n}{(1 - \lambda_m)^2 M_n''(\lambda_m)} \quad (|\alpha_n| \ll 1)$$

Уравнение (13) будет определять нам некоторую функцию  $\lambda_0(\theta)$ , ограниченную сверху и снизу,  $\lambda_{\min} \leq \lambda_0(\theta) \leq \lambda_{\max}$  и периодическую с периодом  $2\pi/n$ . Значения  $\lambda_{\min}$ ,  $\lambda_{\max}$  находятся из уравнений



Фиг. 3

$$\frac{1}{AS} + |\alpha_n| \frac{\lambda_{\max} M_n'(\lambda_{\max}) - M_n(\lambda_{\max})}{(1 + \lambda_m)^2 M_n''(\lambda_m)} = \ln(\lambda_{\max} + 1) - \frac{\lambda_{\max}}{\lambda_{\max} + 1}$$

$$\frac{1}{AS} - |\alpha_n| \frac{\lambda_{\min} M_n'(\lambda_{\min}) - M_n(\lambda_{\min})}{(1 + \lambda_m)^2 M_n''(\lambda_m)} = \ln(\lambda_{\min} + 1) - \frac{\lambda_{\min}}{\lambda_{\min} + 1}$$

Вид контуров  $\lambda = \lambda_0(\theta)$  при различных  $n$  для  $\vartheta_n = 0$  показан на фиг. 4.

Изменение знака  $\alpha_n$  и  $\hat{\vartheta}_n$  приводят к повороту контура как жесткого целого вокруг начала координат. При уменьшении  $|\alpha_n|$  разность  $\lambda_{\max} - \lambda_{\min}$  тоже уменьшается и контур  $\lambda = \lambda_0(\theta)$  оказывается заключенным в более узкое кольцо. Если  $\alpha_n = 0$ , контур  $\lambda = \lambda_0(\theta)$  превращается в окружность.

Рассмотрим соответствующие течения в физической плоскости. Уравнение контура  $\Gamma_2$  найдем из (3), полагая  $\lambda = 0$

$$X = A \left[ \cos \theta + \frac{\alpha_n}{(1 - \lambda_m)^2 M_n''(\lambda_m)} (\sin \theta \cos(n\theta + \vartheta_n) - n \cos \theta \sin(n\theta + \vartheta_n)) \right]$$

$$Y = A \left[ \sin \theta + \frac{\alpha_n}{(1 + \lambda_m)^2 M_n''(\lambda_m)} (\sin \theta \cos(n\theta + \vartheta_n) - n \cos \theta \sin(n\theta + \vartheta_n)) \right]$$

Уравнение контура  $\Gamma_1$  также представится в параметрической форме

$$X_0 = A \left[ \frac{1}{\lambda_0 + 1} \cos \theta + \frac{\alpha_n M_n'(\lambda_0)}{(1 - \lambda_m)^2 M_n''(\lambda_m)} \cos \theta \cos(n\theta + \vartheta_n) + \frac{\alpha_n (n/\lambda_0) M_n(\lambda_0)}{(1 + \lambda_m)^2 M_n''(\lambda_m)} \sin \theta \sin(n\theta + \vartheta_n) \right]$$

$$Y_0 = A \left[ \frac{1}{\lambda_0 + 1} \sin \theta + \frac{\alpha_n M_n'(\lambda_0)}{(1 + \lambda_m)^2 M_n''(\lambda_m)} \sin \theta \cos(n\theta + \vartheta_n) - \frac{\alpha_n (n/\lambda_0) M_n(\lambda_0)}{(1 - \lambda_m)^2 H_n''(\lambda_m)} \cos \theta \sin(n\theta + \vartheta_n) \right]$$

Зависимость между  $\lambda_0$  и  $\theta$  имеет вид

$$\frac{1}{AS} + \alpha_n \frac{\lambda_0 M_n'(\lambda_0) - M_n(\lambda_0)}{(1 + \lambda_m)^2 M_n''(\lambda_m)} \cos(n\theta + \vartheta_n) = \ln(\lambda_0 + 1) - \frac{\lambda_0}{\lambda_0 + 1}$$

Каждое из полученных решений зависит от трех параметров  $A$ ,  $\vartheta_n$  и  $\alpha_n$ , причем  $A$  может принимать любые положительные значения,  $\vartheta_n$  — произвольное действительное число и  $|\alpha_n| \leq 1$ .

Из физического смысла задачи ясно, что контур  $[X(\theta), Y(\theta)]$  должен находиться от начала координат, в физической плоскости, дальше, чем контур  $[X_0(\theta), Y_0(\theta)]$ . Покажем, что при любом  $n \geq 2$  построенные нами решения удовлетворяют этому условию. Используя (5), представим выражение для полярного радиуса в физической плоскости в виде

$$r^2 = \frac{1}{S^2} \left[ \Phi_\lambda^2 + \frac{1}{\lambda^2} \Phi_\theta^2 \right]$$

Тогда при любом  $0 < \lambda \leq \lambda_m$  и любом  $\theta \in [0, 2\pi]$  должно выполняться неравенство

$$R^2 - r^2 > 0 \quad (16)$$

где через  $R$  обозначим полярный радиус внешней границы течения  $\Gamma_2$ . Подставляя соответственные значения  $R$  и  $r$  и обозначая через  $v$  ве-

личину  $(B_n / |B_n|) \cos(n\theta + \vartheta_n)$ , будем иметь

$$\left(\frac{R}{A}\right)^2 - \left(\frac{r}{A}\right)^2 = L(v) = \left[\frac{\lambda(\lambda+2)}{(\lambda+1)^2} - n^2 B_n^2 \left(\frac{M_n'}{\lambda^2} - 1\right)\right] - \\ - 2|B_n| \left(\frac{M_n''}{\lambda+1} - 1\right)v + B_n^2 \left[n^2 \left(\frac{M_n^2}{\lambda^2} - 1\right) - (M_n'^2 - 1)\right]v^2 = C - Bv + Av^2$$

Проводя несложные оценки, можно показать, что

$$C > 0, \quad B > 0, \quad A > 0, \quad \text{при } \lambda \in (0, \lambda_m], \quad |\alpha_n| \leq 1$$

Докажем, что будут выполняться и неравенства

$$A + C > B, \quad B > 2A \quad (17)$$

Будем доказывать их в указанной последовательности. Первое неравенство (17) после простых преобразований приведется к виду

$$2|B_n| \left(\frac{M_n'}{\lambda+1} - 1\right) + B_n^2 (M_n'^2 - 1) < \frac{\lambda(\lambda+2)}{(\lambda+1)^2}$$

Все слагаемые в левой части неравенства положительны. Оценивая их сверху, получим

$$2|B_n| \left(\frac{M_n'}{\lambda+1} - 1\right) + B_n^2 (M_n'^2 - 1) < \frac{|\alpha_n| \lambda}{(1+\lambda_m)^2} [|\alpha_n| \lambda + 2] \leq \\ \leq \frac{\lambda(\lambda+2)}{(\lambda_m+1)^2} \leq \frac{\lambda(\lambda+2)}{(\lambda+1)^2}$$

Установим справедливость и второго из неравенств (17). Легко видеть, что  $B = 2A = 0$  при  $\lambda = 0$ . С другой стороны

$$\partial B / d\lambda > 2 dA / d\lambda \quad \text{при } \lambda > 0 \quad (18)$$

Действительно, неравенство (18) можно представить в виде

$$\frac{(\lambda+1) M_n'' - M_n'}{(\lambda+1)^2} > 2|B_n| \left\{ [(\lambda+1) M_n'' + M_n'] \frac{\lambda M_n' - M_n}{\lambda^2} - M_n' M_n'' \right\}$$

Раскрывая значение  $|B_n|$ , найдем

$$\frac{n^2 M_n}{\lambda} \left[ \frac{1}{(\lambda+1)^2} - \frac{2|\alpha_n| (\lambda M_n' - M_n)}{\lambda^2 (1+\lambda_m)^2 M_n'' (\lambda_m)} \right] > 2M_n' \left[ \frac{1}{(\lambda+1)^2} - \frac{|\alpha_n| M_n'' (\lambda)}{(1+\lambda_m)^2 M_n'' (\lambda_m)} \right]$$

Очевидно, что

$$\frac{\frac{1}{(\lambda+1)^2} (1+\lambda_m)^2 M_n'' (\lambda_m) - |\alpha_n| (n^2-1) - \sum_3^n 2(k-1) \alpha_k \lambda^{k-2}}{\frac{1}{(\lambda+1)^2} (1+\lambda_m)^2 M_n'' (\lambda_m) - |\alpha_n| (n^2-1) - \sum_3^n k(k-1) \alpha_k \lambda^{k-2}} \geq 1, \quad n \geq 2$$

и при этом

$$\frac{2\lambda M_n'}{n^2 M_n} = \frac{2}{n} \frac{1 + \sum_{k=2}^n k \alpha_k \lambda^{k-1}}{n + \sum_{k=2}^n n \alpha_k \lambda^{k-1}} < \frac{2}{n} \leq 1, \quad n \geq 2$$

Отсюда сразу же получаем справедливость (18). Но тогда ясно, что при  $\lambda \in (0, \lambda_m]$ ,  $|\alpha_n| \leq 1$  всегда выполняется и второе неравенство (17).

В силу доказанного  $L(v)$  обладает следующими свойствами:

$$L(-1) = A + B + C > 0, \quad L(1) = A + C - B > 0$$

$$\frac{dL(-1)}{dv} = -2A - B < 0, \quad \frac{dL(1)}{dv} = 2A < 0$$

Из свойств  $L(v)$  немедленно следует при  $\lambda \in (0, \lambda_m]$ ,  $|\alpha_n| \leq 1$  справедливость (16), а следовательно, и справедливость неравенства

$$R^2 - R_0^2 > 0$$

где через  $R_0$  обозначен полярный радиус контура  $\Gamma_1$ .

Для взаимной однозначности отображения при помощи преобразования Лежандра, якобиан преобразования должен быть отличен от нуля. Составляя выражение  $\Delta = x_\lambda y_\theta - x_\theta y_\lambda$ , получим

$$\Delta = -\frac{1}{\lambda+1} \left( \frac{1}{\lambda+1} - |B_n| M_n'' v \right)^2 - \frac{n^2 B_n^2}{\lambda} \left( M_n' - \frac{M_n}{\lambda} \right) (1 - v^2) \quad (19)$$

Второе слагаемое в (19) всегда отрицательно и обращается в нуль при  $v = \pm 1$  или  $\lambda = 0$ . Первое же слагаемое всегда отрицательно, если  $|\alpha_n| < 1$ . Следовательно,  $\Delta < 0$  при  $\lambda \in [0, \lambda_m]$  и  $|\alpha_n| < 1$ .

До сих пор частные решения вида (12) рассматривались для  $n \geq 2$ . Разберем отдельно случай, когда  $n = 1$ . Имеем

$$\Phi_1(\lambda, \theta) = -1 + AS [\ln(\lambda + 1)] + B_1 \lambda \cos(\theta + \theta_1)$$

Формулы (5) дают

$$u = 1 + AS \left[ \frac{\lambda}{\lambda+1} - \ln(\lambda + 1) \right]$$

$$\frac{x}{A} - B_1 \sin \theta_1 = \frac{1}{\lambda+1} \cos \theta, \quad \frac{y}{A} - B_1 \cos \theta_1 = \frac{1}{\lambda+1} \sin \theta$$

Выражение для  $u$  совпадает со случаем  $n = 0$ , а в выражениях для  $x$  и  $y$  появились члены  $B_1 \sin \theta_1$  и  $B_1 \cos \theta_1$ . Ясно, что  $\Phi_1$  описывает течение вязко-пластичной среды при движении в ней круглого цилиндра, ось которого параллельна оси  $z$ , но не совпадает с ней. Можно показать, что постоянные  $B_1$  и  $\theta_1$  совершенно произвольны.

Решения вида

$\Phi_1(\lambda, \theta) = -1 + AS [\ln(\lambda + 1) + B_1 \lambda \cos(\theta + \theta_1) + B_n M_n(\lambda) (\cos(n\theta + \theta_n))]$  будут отличаться от решений вида (12) только тем, что оси соответственных цилиндров, будучи параллельными оси  $z$ , не будут с ней совпадать.

Вычислим сопротивление сил трения на участке поверхности цилиндра длины  $b'$ . По определению

$$F' = b' \int_{\Gamma_1} \left( \mu + \frac{\tau_0}{(u_x'^2 + u_y'^2)^{1/2}} \right) \frac{\partial u'}{\partial n'} ds'$$

Штрихи у величин означают, что эти величины берутся в размерном виде. Подставляя, получим

$$F' = \tau_0 b l' \left( 1 + \int_0^{2\pi} \lambda_0(\theta) \sqrt{(dX_0(\theta)d\theta)^2 + (dY_0(\theta)/d\theta)^2} d\theta \right)$$

где  $l$  длина контура  $\Gamma_1$ . Например, для круглого цилиндра

$$F' = \tau_0 b l' (1 + 2\pi \lambda_0)$$

Общее выражение  $F'$  через  $\Phi$  громоздко, и мы его не выписываем.

Поступила 10 II 1961

#### ЛИТЕРАТУРА

- Мирзаджанзаде А. Х. Некоторые вопросы вязко-пластических жидкостей в применении к нефтедобыче. Изд-во Азнефть, Баку, 1959.
- Кочин Н. Е., Розе Н. В. и Кибелль И. А. Теоретическая гидромеханика, т. II. ГТТИ, 1937 г.
- Петровский И. Г. Лекции об уравнениях с частными производными. ГТТИ, 1953.
- Курант Р., Гильберт Д. Методы математической физики. ч. II. М. Огиз, Гостехиздат, 1944.
- Толстой Д. М. Журнал физической химии. М., 1934, 5, 28.
- Oldroyd J. G. Rectilinear plastic flow of a Bingham Solid., Proc. Cambridge Phil. Soc., 1948. Vol. 44, p. 2.